

بررسی واکنش‌های توزیع مذاب، دما-فشارسنجدی و شیمی کانی‌های آمفیبیول و پلاژیوکلاز روشن، تیره و تیره-روشن در میگماتیت‌های هورنبلنددار تکاب (شمال غرب ایران)

هاله قربانی^{*}، ریاب حاجی علی اوغلی، محسن مؤذن

گروه علوم زمین، دانشکده علوم طبیعی، دانشگاه تبریز، تبریز، ایران

(دریافت مقاله: ۹۸/۸/۱۲، نسخه نهایی: ۹۸/۱۱/۱۲)

چکیده: فرایند میگماتیتی‌شدن در منطقه قره‌ناز منجر به حجم‌های متفاوت ذوب بخشی و سرانجام طیف گسترده‌ای از میگماتیت‌های متاتکسیت و دیاتکسیت شده است. بررسی شیمی کانی‌ها با ریزکاوالکترونی نشان می‌دهد که ترکیب آمفیبیول از نوع مگنزیوپلازیت با خاستگاه دگرگونی بوده و ترکیب فلدسپات‌ها از نوع آندزین تا الیگوکلاز است. واکنش‌های ذوب در حضور سیال آزاد و ذوب در نبود سیال در تشکیل مذاب و بخش روشن میگماتیت‌ها موثر بوده‌اند. ترکیب کانی‌های درجه بالا به احتمال بسیار در اثر از بین رفتان کانی‌های درجه پایین‌تر و توسط واکنش‌های بدون حضور سیال آزاد تشکیل شده‌اند. ترکیب کانی‌شناسی بخش‌های روشن مشابه تونالیت تا گرانوودیوریت برآمده از ذوب بخشی است و با خاستگاه تبلور از مذاب هموخوانی دارد. براساس دما-فشارسنجدی این سنگ‌ها، دمای تشکیل حدود ۷۶۷ تا ۸۶۸ درجه سانتیگراد و فشار حدود ۵/۷ کیلوبار است.

واژه‌های کلیدی: دما-فشارسنجدی، شیمی کانی، قره‌ناز، میگماتیت، واکنش‌های ذوب.

مقدمه

بررسی میگماتیت‌های [۸]. در ارتباط با سازوکار تشکیل میگماتیت‌ها تاکنون ۴ روش تزریق ماغما، ذوب بخشی، جدایش دگرگونی و دگرنهادی پیشنهاد شده است [۹]. میگماتیت‌های تشکیل شده از طریق تزریق ماغما و ذوب بخشی در زیرگروه ماقمایی قرار دارند و آن‌هایی که از جدایش دگرگونی و دگرنهادی شکل گرفته‌اند از این گروه نیستند [۱۰]. از سازوکارهای مختلف پیشنهاد شده برای تشکیل میگماتیت‌ها، ذوب بخشی و جدایش مذاب باقی مانده فرایندهای اصلی هستند [۱۱]. طی فرایند ذوب بخشی، اگر مذاب کمتر از ۲۰٪ حجم سنگ را تشکیل دهد میگماتیت‌های متاتکسیت مانند میگماتیت‌های نمی‌تشکیل می‌شوند [۱۲]. با افزایش مقدار مذاب و در شرایط بالاتر از نقطه بحرانی، میگماتیت رفتار روانه ای مانند ماغما دارد [۱۳] و نوارها با حجم‌های بالایی از مذاب بهم ریخته شده و آن را دیاتکسیت می‌نامند [۲]. میگماتیت‌های ذوب بخشی آزمایشگاه‌های طبیعی برای بررسی

میگماتیت‌ها سنگ‌های مرکب ماکروسکوپی شامل بخش‌های فلزی (روشن) و بیشتر بخش‌های مافیک (تیره-روشن و تیره) بوده که اغلب اجزای فلزی دارای تحرک بیشتری نسبت به سایر اجزا هستند [۱، ۲]. بخش‌های مافیک بیشتر مخلوطی از اجزای فلزی و مافیک تیره-روشن و یا بخش‌های مافیک خالص تیره-روشن هستند [۳]. همه ساختارهای میگماتیتی اغلب در سنگ حضور دارند، اگرچه بخش‌های روشن همیشه از بخش‌های تیره-روشن تکیک شده نیست [۳]. میگماتیت‌ها بیشتر در سرزمین‌های دگرگونی ناحیه‌ای با درجه دگرگونی تا حدی بالا در اثر ذوب بخشی سنگ‌های پوسته‌ای ژرف ایجاد می‌شوند [۴]. ذوب بخشی یک فرایند ارتباطی مناسب بین دگرگونی فعالیت و ماقمایی است و نقش کلیدی در گسترش میگماتیت‌ها، گرانولیت‌ها و گرانیت‌های نوع S طی تکامل پوسته دارد [۷-۵]. سازوکار تشکیل بخش‌های روشن‌ها از مسائل مهم در

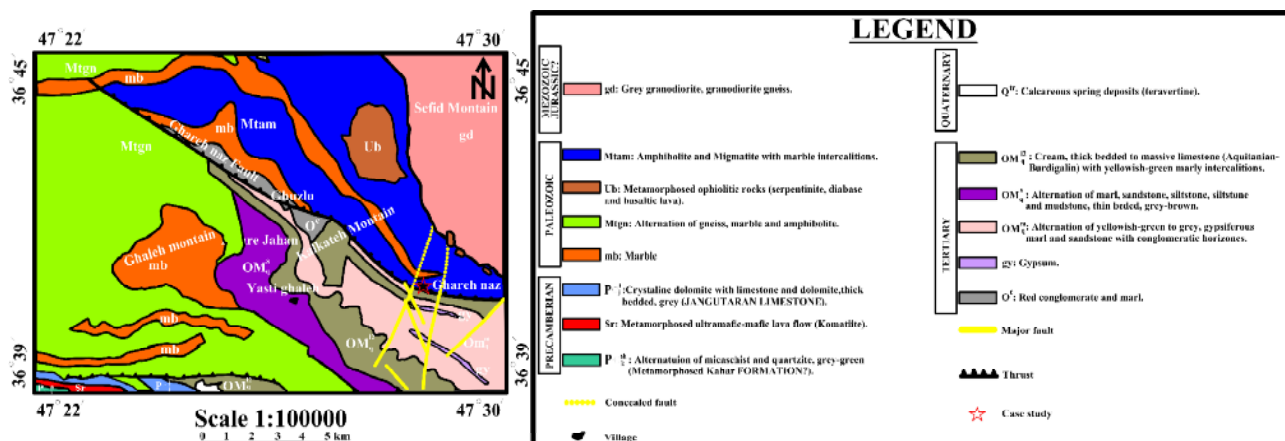
*نویسنده مسئول، تلفن: ۰۹۳۸۴۰۵۳۱۶۴، نامبر: ۰۴۱۳۳۳۵۶۰۲۷، پست الکترونیکی: haleh_ghorbani@tabrizu.ac.ir

در شمال شرق تکاب براساس رده‌بندی مراجع [۳۱-۲۹] بخشی از پهنه سندج- سیرجان بوده [۱۸] و آن را به پهنه ایران مرکزی [۳۲] و نیز البرز- آذربایجان و سندج- سیرجان نسبت داده‌اند. همتافت مرکزی زنجان- تکاب شامل توالی از سنگ‌های دگرگونی، آذرین و رسوبی است [۳۳، ۲۹]. شفایی و همکاران [۳۴] با هسته‌های زیرکن در پاراگنیس و آمفیبولیت در همتافت مرکزی زنجان- تکاب سن‌های متنوعی از ۳۲۵ Ma در ۳۵ را گزارش کرده‌اند (البته قدیمی‌ترین سن که متداول‌تر بوده بیش از ۶۲۵ Ma است). موذن و همکاران [۳۵] نیز سن قدیمی‌ترین سنگ مادر پوسته‌ای پی سنگ تکاب را با بررسی ایزوتوپ‌های U^{235} / Pb^{207} در زیرکن آواری به ارث رسیده در بخش تیره میگماتیت مافیک حدود ۲۹۶۱±۷۲ Ma به دست آورده‌اند. سن‌سنگی U-Pb زیرکن در بخش روشن میگماتیت‌های تکاب (شکل ۱)، زمان ذوب بخشی (میگماتیت‌زای) را حدود ۲۵ Ma [۳۵] و ۲۸-۲۵ Ma [۳۴] تعیین کرده است. توده‌های گرانیت‌وئیدی کوچک با ترکیب تونولیت، گرانودیوریت تا کوارتر دیوریت به صورت پراکنده در مجموعه دگرگونی رخمنون دارند. توده‌های گرانیت‌وئیدی به احتمال بسیار ممکن است در ارتباط با فرایندهای میگماتیت‌زایی منطقه تشکیل شده باشند. سن نسبی این گرانیت‌وئیدها در مقایسه با توده‌های گرانیت‌وئیدی مشابه در مناطق همسایه، به الیگو سن نسبت داده شده است [۳۶].

ویژگی‌های فیزیکی و شیمیایی مجموعه کانی‌های ذوب شده محسوب می‌شوند [۱۴]، البته برای درک آن در اصل باید اطلاعاتی درباره شرایط تشکیل و جدایش مذاب در دسترس باشد [۱۵]. پیرامون ماهیت واکنش‌های تشکیل مذاب در منطقه قره‌ناز پژوهش چندانی انجام نشده است، از این‌رو در این پژوهش داده‌های صحرایی، سنگنگاری، شیمی کانی‌ها در پژوهش داده‌های صحرایی، واکنش‌های ذوب، دما- فشار-سنگی به طور جامع بررسی شد تا زمینه‌ای برای بررسی‌های بیشتر شرایط دگرگونی و زمین دینامیکی در این منطقه ایجاد شود.

جایگاه زمین ساختی و زمین شناسی منطقه

سرزمین ایران مانند سرزمین‌های عربستان، عمان، بخشی از پاکستان و جنوب شرق ترکیه و غرب ترکیه دارای عملکرد فازهای کوهزایی، رسوب‌ها و سنگ‌هایی با سن مشابه است. این امر نشان می‌دهد که این سرزمین‌ها طی پرکامبرین و پالئوزویک بخشی از ابرقاره گندوانا بوده‌اند [۲۱-۱۶]. بخشی از سرزمین ایران که دارای این ویژگی‌ها بوده پهنه ایران مرکزی است. برخی پژوهشگران [۲۴-۲۲] دگرگونی و فعالیت ماگمایی ورقه ایران به کوهزایی کادومین نسبت داده‌اند. فروزانش نئوتیس بین صفحه آفرو- عربی و میکروپلیت ایران مرکزی و برخورد قاره‌ای آن طی کرتاسه پسین تا تریاکاری پیشین باعث دگرگونی و فعالیت ماگمایی و استه به آن در پهنه سندج- سیرجان شده است [۲۸-۲۵]. مجموعه دگرگونی تخت سلیمان



شکل ۱ نقشه زمین‌شناسی منطقه قره ناز (برگرفته از نقشه زمین‌شناسی ۱:۱۰۰۰۰۰ تخت سلیمان [۳۲] با اندکی تغییرات).

محاسبه شد.

بحث و بررسی

بررسی‌های صحرایی و روابط ساختاری میگماتیت‌های مافیک قره‌ناز میگماتیت‌های قره‌ناز ناشی از ذوب‌بخشی آمفیبولیت‌ها هستند (شکل ۲ الف) و درجه‌های متفاوت ذوب‌بخشی سبب تشکیل ساختارهای بسیار متنوع شامل لکه‌ای، شولن، چشمی، نمدی با آثار مهاجرت مذاب (شکل ۲ ب)، دیکتیونیتیک، پتیگماتیت، رگرای (شکل ۲ پ)، شلیرن، پگماتیتوئیدی و ابرمانند (شکل ۲ ت) در منطقه شده است. میگماتیت‌های قره‌ناز را می‌توان از نظر درجه ذوب‌بخشی در انواع میگماتیت‌های متاتکسیت و دیاتکسیت دسته‌بندی کرد: میگماتیت‌های متاتکسیت با درصد ذوب‌بخشی پایین دارای حجم کمی از بخش‌های روشن و ساختار برگوارگی سنگ اولیه آمفیبولیتی بیشتر حالت حفظ شده نشان می‌دهد (شکل ۲ ب). به عبارت دیگر در این میگماتیت‌ها مذاب ناشی از ذوب‌بخشی به صورت لایه‌ای و موازی برگوارگی آمفیبولیت‌های اولیه است. میگماتیت‌های نمدی یا لایه‌ای از انواع شاخص میگماتیت‌های متاتکسیت هستند (شکل ۲ ب). میگماتیت‌های دیاتکسیت برآمده از ذوب-بخشی درجه بالا هستند و حجم بخش‌های روشن در آن‌ها در مقایسه با متاتکسیت‌ها بیشتر است (شکل‌های ۲ پ و ت). افزایش حجم مذاب در میگماتیت‌های دیاتکسیت باعث به هم خوردگی ساختارهای دیگرگونی اولیه آمفیبولیت‌ها شده است و حضور ساختارهای اولیه به هم ریخته (مانند شولن و شلیرن) و ساختارهای غالب آذرین و (مانند ساختار پگماتوئیدی و ابری) از مشخصه‌های ساختاری مهم میگماتیت‌های دیاتکسیت قره‌ناز هستند (شکل‌های ۲ پ و ت). بخش روشن در میگماتیت‌های دیاتکسیت به دلیل بالا بودن درصد ذوب‌بخشی دارای مقادیر به نسبت بالای کانی‌های مافیک است (شکل‌های ۲ پ و ت).

محدوده مورد بررسی در روستای قره ناز در عرض‌های جغرافیایی $36^{\circ}45'$ تا $36^{\circ}39'$ شمالی و طول‌های جغرافیایی $47^{\circ}22'$ تا $47^{\circ}30'$ شرقی قرار دارد که بخشی از مجموعه دیگرگونی تخت‌سلیمان است (شکل ۱). رخمنون‌های سنگی مختلف در منطقه شامل انواع سنگ‌های دیگرگونی درجه متوسط و بالا دربردارنده آمفیبولیت، گنیس، میکاشیست، سیلیکات آهکی، مرمر و متاپریدوتیت هستند (شکل ۱). آمفیبولیت‌های این منطقه در پی افزایش درجه دیگرگونی دستخوش ذوب‌بخشی شده و در نتیجه، میگماتیت‌های مافیک و گرانولیت‌های مافیک ایجاد شده‌اند.

روش بررسی

در این پژوهش پس از بررسی دقیق روابط صحرایی از نمونه‌های تازه و بدون هوازدگی، مقاطع نازک میکروسکوپی تهیه شد تا بر پایه‌ی روابط صحرایی، سنگنگاری نیز انجام شود. بهترین نمونه‌ها که به خوبی نشانگر تکامل صحرایی، سنگنگاری و بافت سنگ هستند انتخاب شدند. بخش‌های روشن، تیره و تیره-روشن به صورت دقیق جدا شده و به منظور تعیین ترکیب شیمیایی هر یک از کانی‌ها در اجزای مختلف میگماتیتی (روشن، تیره و تیره-روشن) برای تجزیه با ریزپردازشگر الکترونی مدل Cameca X100 با ولتاژ ۱۵ کیلوولت و جریان ۲۰ نانوآمپر با باریکه $2\text{-}10$ میکرومتر به مرکز تحقیقات زمین-شناسی پتسدام آلمان ارسال شدند. کانی‌های هورنبلند و پلازیوکلاز در بخش‌های مختلف روشن، تیره و تیره-روشن برای مقایسه‌ی عناصر و تعیین ترکیب شیمیایی تجزیه شدند. تجزیه‌ی ریزپردازشی آمفیبول برای ۲ نقطه در بخش روشن، ۲ نقطه در بخش تیره و ۲ نقطه در بخش تیره-روشن و تجزیه‌ی ریزپردازشی پلازیوکلاز برای ۹ نقطه در بخش روشن، ۳ نقطه در بخش تیره و ۳ نقطه در بخش تیره-روشن از میگماتیت‌های مافیک انجام شد (جدول‌های ۳-۱). نسبت یونی عناصر $\text{Fe}^{2+}/\text{Fe}^{3+}$ در ساختار کانی‌ها با استفاده از رابطه مرجع [۳۷]

جدول ۱ مجموعه کانی‌های پاراژنر در بخش‌های مختلف تیره-روشن، تیره و روشن در میگماتیت‌های قره ناز. علائم اختصاری کانی‌ها از مرجع .(A= Alteration phase, O= Minor phase (<5%), X= Major phase (>5%)) [۳۷]

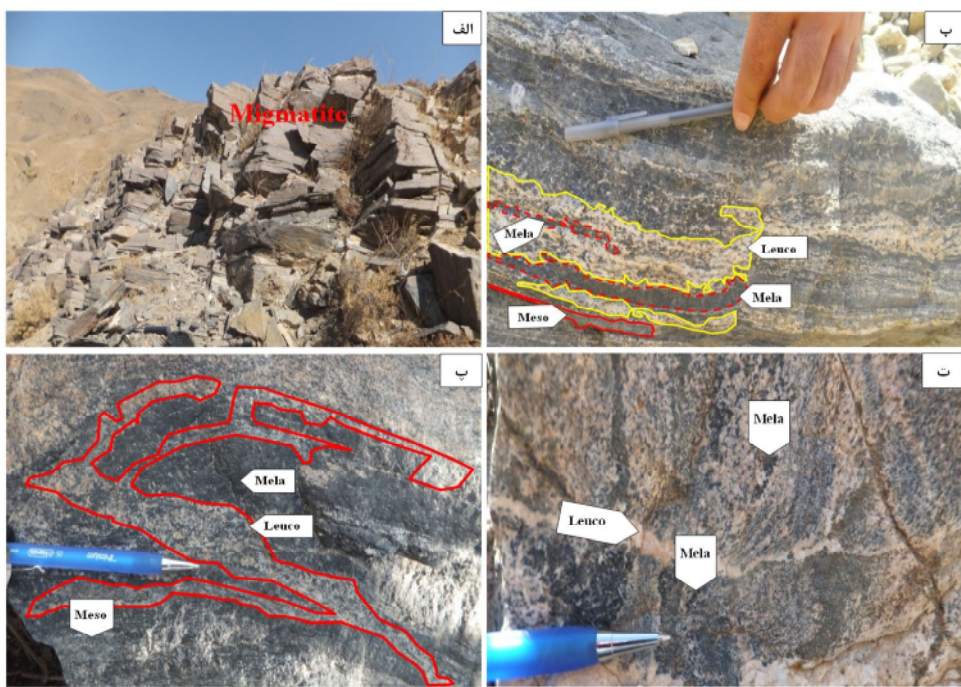
نوع سنگ	بافت	نمونه	Qz	Kfs	Pl	Chl	Zr	Spn	Bt	Hbl	Ap	Ilm	Ep	Tr/Act
آمفیبولیت	گرانوبلاستیک- زینوبلاستیک- پوفیر و بلاستیک- پیپید و بلاستیک	مزوسوم	X	X	X	AO	O	X	X			O		
بیوتیت-هورنبلند گرانولیت	گرانوبلاستیک- زینوبلاستیک- پورفیر و بلاستیک- سما توپلاستیک- لپید و بلاستیک	ملانوسوم	O	O	X		O	X	A	X, A			A	
تونالیت	گرانولار- میرمکیت- سیمبلکتیت	لوكوسوم	X	X	X	AO	O	X	AO	AO	O	O	O	

جدول ۲ نتایج تجزیه شیمیایی و محاسبه فرمول ساختاری آمفیبول‌ها بر اساس ۲۳ اکسیژن در بخش‌های روشن، تیره و تیره-روشن. (داده‌های اکسیدی بر حسب درصد وزنی و فرمول ساختاری بر حسب (a.p.f.u)

Amp	Leuco, Hg1	Leuco, Hg2	Mela, Hg5	Mela, Hg6	Meso, Hg13	Meso, Hg14
SiO ₂	۴۲۲۶	۴۲۳۷	۴۲۸۰	۴۳۰۱	۴۱۳۲	۴۱۸۰
TiO ₂	۱۲۶	۱۰۴	۱۰۸	۱۰۰	۹۸	۱۱۰
Al ₂ O ₃	۱۲۰۹	۱۲۱۸	۱۱۶۹	۱۱۱۸	۱۳۳۳	۱۲۹۱
Cr ₂ O ₃
FeO	۱۸۲۲	۱۸۳۵	۱۸۵۰	۱۸۹۴	۱۹۰۲	۱۹۴۷
MnO	۰.۴۳	۰.۴۸	۰.۴۶	۰.۴۹	۰.۴۶	۰.۴۸
MgO	۱.۰۰	۱.۰۱۷	۱.۰۱۷	۱.۰۰	۹.۰۰	۹.۰۲
CaO	۱۱.۲۶	۱۱.۲۴	۱۱.۰۸	۱۱.۱۸	۱۱.۰۷	۱۱.۰۷
Na ₂ O	۱.۹۲	۲.۰۲	۱.۸۰	۱.۸۲۱	۱.۸۸	۲.۰۸
K ₂ O	۰.۱۹	۰.۱۷	۰.۱۴	۰.۱۹	۱.۰۱	۰.۹۰
F	۰.۲۲	۰.۱۰	۰.۰۵	۰.۴۰	۰.۱۲	۰.۰۰
Cl	۰.۰۵	۰.۰۶	۰.۰۳	۰.۰۵	۰.۰۴	۰.۰۴
مجموع	۹۹.۱۱	۹۹.۴۱	۹۸.۷۸	۹۹.۹۰	۹۸.۷۰	۹۹.۱۱
فرمول	۲۳(O)	۲۳(O)	۲۳(O)	۲۳(O)	۲۳(O)	۲۳(O)
Si	۶۲۰۴	۶۲۰۲	۶۲۴۲	۶۲۷۵	۶۰۹۰	۶۱۰۰
Ti	-۱۳۹	-۱۶۹	-۱۷۸	-۱۶۴	-۱۰۸	-۱۲۲
Al	۲۱۷۹	۲۱۰۱	۲۰۲۴	۱۹۱۴	۲۳۱۶	۲۲۳۷
Cr
Fe ³⁺	-۸۸.	-۸۹۲	-۹۶۸	-۱۰۸۸	-۱۰۷۰	-۱۰۶۸
Fe ²⁺	۱۳۵۷	۱۳۵۴	۱۳۰۴	۱۲۴۹	۱۲۷۴	۱۳۲۵
Mn	-۰.۰۳	-۰.۰۶	-۰.۰۵۷	-۰.۰۶۰	-۰.۰۷	-۰.۰۶۰
Mg	۲۱۸۸	۲۲۱۹	۲۲۲۶	۲۲۷۹	۲۰۷۸	۲۰۸۶
Ca	۱۷۷۱	۱۷۶۳	۱۷۶۶	۱۷۸۰	۱۷۸۰	۱۷۶۳
Na	-۰.۴۶	-۰.۷۳	-۰.۵۱۴	-۰.۵۱۴	-۰.۳۷	-۰.۴۸۴
K	-۱۶۷	-۱۶۲	-۱۷۷	-۱۴۷	-۱۹۰	-۱۷۸
مجموع	۱۵.۴۸۴	۱۵.۴۹۸	۱۵.۴۲۸	۱۵.۴۰۵	۱۵.۴۵۷	۱۵.۵۰۶
AlIV	۱.۷۹۶	۱.۷۹۸	۱.۷۵۸	۱.۷۲۵	۱.۹۱۰	۱.۹۰۰
AlVI	-۰.۳۸۳	-۰.۳۰۳	-۰.۳۶۶	-۰.۱۸۹	-۰.۴۶	-۰.۳۳۷
Mg [#]	-۰.۶۱۷	-۰.۶۲۱	-۰.۶۳۱	-۰.۶۴۶	-۰.۶۲۱	-۰.۶۱۱
(Na+K)A	-۰.۴۸۴	-۰.۴۹۸	-۰.۴۲۸	-۰.۴۰۵	-۰.۴۷۵	-۰.۴۹۹
NaB	-۰.۲۲۹	-۰.۲۳۷	-۰.۲۸۶	-۰.۲۸۸	-۰.۲۸۳	-۰.۲۸۷
CaB	۱.۷۷۱	۱.۷۶۳	۱.۷۶۴	۱.۷۶۵	۱.۷۶۸	۱.۷۶۳

جدول ۳ نتایج تجزیه شیمیایی و محاسبه فرمول ساختاری پلازبیوکلازها بر اساس ۸ اکسیژن در اجزای مختلف میگماتیتی روشن، تیره و تیره-روشن. (داده‌های اکسیدی بر حسب درصد وزنی و فرمول ساختاری بر حسب (a.p.f.u)

PI	Leuco, Hg1	Leuco, Hg2	Leuco, Hg4	Leuco, Hg5	Leuco, Hg7	Leuco, Hg9	Leuco, Hg16	Leuco, Hg17	Leuco, Hg19	Mela, Hg20	Mela, Hg22	Mela, Hg23	Meso, Hg27	Meso, Hg28	Meso, Hg32
SiO ₂	۵۹.۳۶	۵۹.۶۷	۵۹.۴۲	۵۹.۴۰	۵۸.۷۶	۵۹.۰۱	۵۸.۹۵	۵۸.۸۸	۶۰.۷۱	۵۹.۲۴	۵۹.۹۵	۵۹.۷۲	۵۸.۸۰	۵۸.۵۳	۵۹.۱۲
TiO ₂	-۰.۱	-۰.۱	-۰.۱	-۰.۱	-۰.۱	-۰.۱	-۰.۰	-۰.۰۲	-۰.۰۲	-۰.۰۳	-۰.۰۰	-۰.۰۱	-۰.۰۱	-۰.۰۰	-۰.۱
Al ₂ O ₃	۲۶.۴۸	۲۶.۳۷	۲۶.۵۸	۲۶.۶۲	۲۷.۰۴	۲۶.۸۵	۲۶.۱۱	۲۶.۸۲	۲۵.۸۷	۲۵.۸۲	۲۴.۹۶	۲۵.۸۷	۲۶.۲۵	۲۵.۵۶	۲۶.۶۱
Cr ₂ O ₃
FeO	-۰.۱۸	-۰.۰۰	-۰.۰۱	-۰.۰۰	-۰.۰۰	-۰.۰۰	-۰.۰۰	-۰.۰۲	-۰.۰۰	-۰.۰۰	-۰.۰۰	-۰.۰۱	-۰.۰۰	-۰.۰۰	-۰.۱۳
MnO	...	-۰.۰۲	-۰.۰۰	-۰.۰۰	-۰.۰۰	-۰.۰۰	-۰.۰۰	-۰.۰۲	-۰.۰۰	-۰.۰۰	-۰.۰۰	-۰.۰۰	-۰.۰۰	-۰.۰۰	-۰.۰۰
MgO	-۰.۰۰	-۰.۰۰	-۰.۰۱	-۰.۰۰	-۰.۰۰	-۰.۰۰	-۰.۰۰	-۰.۰۰	-۰.۰۰	-۰.۰۰	-۰.۰۰	-۰.۰۰	-۰.۰۰	-۰.۰۰	-۰.۰۰
CaO	۷.۴۴	۷.۴۵	۷.۴۵	۷.۴۶	۷.۹۸	۷.۹۴	۷.۳۱	۷.۵۷	۶.۶۶	۶.۶۵	۶.۶۰	۶.۸۸	۷.۶۴	۷.۸۱	۷.۸۰
Na ₂ O	۷.۸۹	۷.۸۷	۷.۹۳	۷.۸۳	۷.۴۴	۷.۶۲	۷.۹۹	۷.۸۲	۸.۵۵	۸.۴۱	۸.۲۷	۸.۱۶	۷.۷۶	۷.۵۷	۷.۶۸
K ₂ O	-۰.۱۴	-۰.۱۶	-۰.۱۶	-۰.۱۶	-۰.۲۱	-۰.۲۰	-۰.۲۲	-۰.۱۸	-۰.۱۶	-۰.۱۲	-۰.۱۳	-۰.۲۱	-۰.۱۵	-۰.۱۶	-۰.۱۸
مجموع	۱۰.۱۶۰	۱۰.۱۵۵	۱۰.۱۶۱	۱۰.۱۵۳	۱۰.۱۵۵	۱۰.۱۷۶	۱۰.۰۶۷	۱۰.۰۹۱	۱۰.۲۱۳	۱۰.۱۳۸	۱۰.۰۱۱	۱۰.۰۹۳	۱۰.۰۷۶	۱۰.۰۷۱	۱۰.۱۵۳
فرمول	۸(O)	۸(O)	۸(O)	۸(O)	۸(O)	۸(O)	۸(O)	۸(O)	۸(O)						
Si	۲۶.۱۶	۲۶.۲۷	۲۶.۱۶	۲۶.۱۷	۲۵.۹۲	۲۵.۹۹	۲۶.۲۲	۲۶.۱۱	۲۶.۵۶	۲۶.۳۲	۲۶.۷۳	۲۶.۴۴	۲۶.۱۴	۲۶.۰۳	۲۶.۰۸
Ti	-۰.۰۰۰	-۰.۰۰۰	-۰.۰۰۱	-۰.۰۰۰	-۰.۰۰۰	-۰.۰۰۰	-۰.۰۰۰	-۰.۰۰۱	-۰.۰۰۱	-۰.۰۰۰	-۰.۰۰۰	-۰.۰۰۰	-۰.۰۰۰	-۰.۰۰۰	-۰.۰۰۰
Al	۱۳.۷۵	۱۳.۸۱	۱۳.۷۹	۱۳.۸۲	۱۴.۰۶	۱۳.۹۴	۱۳.۶۹	۱۳.۸۰	۱۳.۳۴	۱۳.۴۰	۱۳.۱۱	۱۳.۵۰	۱۳.۷۵	۱۳.۹۲	۱۳.۸۴
Cr	-۰.۰۰۰	-۰.۰۰۰	-۰.۰۰۰	-۰.۰۰۰	-۰.۰۰۰	-۰.۰۰۰	-۰.۰۰۰	-۰.۰۰۱	-۰.۰۰۰	-۰.۰۰۰	-۰.۰۰۰	-۰.۰۰۰	-۰.۰۰۰	-۰.۰۰۰	-۰.۰۰۰
Fe ²⁺	-۰.۰۰۷	-۰.۰۰۰	-۰.۰۰۱	-۰.۰۰۰	-۰.۰۰۰	-۰.۰۰۰	-۰.۰۰۰	-۰.۰۰۰	-۰.۰۰۰	-۰.۰۰۰	-۰.۰۰۰	-۰.۰۰۰	-۰.۰۰۰	-۰.۰۰۰	-۰.۰۰۵
Mn	-۰.۰۰۰	-۰.۰۰۱	-۰.۰۰۰	-۰.۰۰۰	-۰.۰۰۰	-۰.۰۰۰	-۰.۰۰۰	-۰.۰۰۱	-۰.۰۰۰	-۰.۰۰۰	-۰.۰۰۰	-۰.۰۰۱	-۰.۰۰۱	-۰.۰۰۰	-۰.۰۰۰
Mg	-۰.۰۰۰	-۰.۰۰۰	-۰.۰۰۰	-۰.۰۰۰	-۰.۰۰۰	-۰.۰۰۰	-۰.۰۰۰	-۰.۰۰۰	-۰.۰۰۰	-۰.۰۰۰	-۰.۰۰۰	-۰.۰۰۰	-۰.۰۰۰	-۰.۰۰۰	-۰.۰۰۰
Ca	-۰.۳۵۶	-۰.۳۵۱	-۰.۳۵۱	-۰.۳۵۲	-۰.۳۷۷	-۰.۳۷۵	-۰.۳۴۸	-۰.۳۶۰	-۰.۳۱۲	-۰.۳۱۴	-۰.۳۱۵	-۰.۳۲۶	-۰.۳۶۴	-۰.۳۷۲	-۰.۳۶۹
Na	-۰.۶۷۴	-۰.۶۷۲	-۰.۶۷۷	-۰.۶۶۹	-۰.۶۳۶	-۰.۶۵۱	-۰.۶۸۹	-۰.۶۷۳	-۰.۷۲۵	-۰.۷۱۸	-۰.۷۱۵	-۰.۶۶۹	-۰.۶۵۳	-۰.۶۵۷	-۰.۶۵۷
K	-۰.۰۰۸	-۰.۰۰۹	-۰.۰۰۹	-۰.۰۰۹	-۰.۰۱۲	-۰.۰۱۱	-۰.۰۱۲	-۰.۰۱۰	-۰.۰۰۹	-۰.۰۰۷	-۰.۰۰۷	-۰.۰۱۲	-۰.۰۰۹	-۰.۰۰۹	-۰.۰۱۰
مجموع	۵.۰۳۷	۵.۰۲۹	۵.۰۳۶	۵.۰۳۱	۵.۰۲۸	۵.۰۳۵	۵.۰۴۴	۵.۰۴۰	۵.۰۴۳	۵.۰۴۸	۵.۰۳۳	۵.۰۳۶	۵.۰۳۷	۵.۰۳۲	۵.۰۳۲
Ab	-۰.۶۴۹	-۰.۶۵۱	-۰.۶۵۳	-۰.۶۴۹	-۰.۶۲۱	-۰.۶۲۸	-۰.۶۵۶	-۰.۶۴۵	-۰.۶۹۳	-۰.۶۹۱	-۰.۶۸۹	-۰.۶۷۴	-۰.۶۴۲	-۰.۶۳۱	-۰.۶۳۴
Or	-۰.۰۰۸	-۰.۰۰۹	-۰.۰۰۹	-۰.۰۰۹	-۰.۰۱۲	-۰.۰۱۱	-۰.۰۱۲	-۰.۰۱۰	-۰.۰۰۹	-۰.۰۰۶	-۰.۰۰۷	-۰.۰۱۱	-۰.۰۰۸	-۰.۰۰۹	-۰.۰۱۰
An	-۰.۳۴۳	-۰.۳۴۰	-۰.۳۳۹	-۰.۳۴۲	-۰.۳۶۸	-۰.۳۶۱	-۰.۳۲۲	-۰.۳۴۵	-۰.۲۹۸	-۰.۳۰۲	-۰.۳۰۴	-۰.۳۱۴	-۰.۳۴۹	-۰.۳۶۰	-۰.۳۴۸



شکل ۲ میگماتیت‌های مافیک قره‌ناز. (الف) رخمنون میگماتیت‌های مافیک در منطقه مورد بررسی، دید به سمت غرب، (ب) میگماتیت دیاتکسیت با ساختار نمدی که در اثر تناوب لایه‌های تیره و روشن شکل می‌گیرد (پ) میگماتیت دیاتکسیت با ساختار رگه‌ای که در آن لایه‌های روشن به صورت نامنظم لایه‌های تیره‌تر را قطع می‌کنند و ت- میگماتیت دیاتکسیت با ساختار ابر مانند که در آن سنگ دارای ظاهری مشابه سنگ‌های آذرین است. (ج) بخش روشن، Mela: بخش تیره و Meso: بخش تیره-روشن.

هستند. (شکل‌های ۳ الف و ت). کانی‌های فلدسپار قلیایی، اسفن، هورنبلندها، بیوپیت، زیرکن و کلریت نیز در مقادیر فرعی در این بخش وجود دارند (شکل‌های ۳ ب، ث، ج). این بخش دارای بافت‌های مشابه با سنگ‌های آذرین بوده و بافت غالب در آن دانه‌ای است (شکل‌های ۳ الف و ت). بافت میرمکیت نیز در بین آمفیبول و پلاژیوکلازها دیده می‌شود که نشان‌دهنده واکنش‌های پسروند و برگشتی بالاً‌مدگی سریع در منطقه است و این‌ها همه از نشانه‌های ذوب بخشی هستند (شکل ۳ ج). کوارتزهای بی‌شکل با خاموشی موجی تبلور آن‌ها از مذاب طی مراحل نهایی تبلور را نشان می‌دهد (شکل‌های ۳ الف و ب). افزون بر این، پرتیت در فلدسپار پتاسیم و پلاژیوکلاز (شکل ۳ ج)، ماکل چندریخت (شکل ۳ ت) و منطقه‌بندی در پلاژیوکلاز (شکل ۳ ب) و بافت بین دانه‌ای کوارتز که در آن کوارتز در بین پلاژیوکلازها قرار دارد (شکل ۳ ت). گاهی بخش‌های روشن به صورت لکه‌ای با کانی‌های درشت پلاژیوکلاز و کوارتز به صورت بین دانه‌ای هستند (شکل ۳ ب). افزون بر این، کوارتزهای بی‌شکل و به صورت گودال‌های مذاب فضای بین دانه‌های پلاژیوکلاز و فلدسپات پتاسیم را اشغال کرده‌اند (شکل ۳ ج). در برخی از نمونه‌ها، بخش‌های روشن

بررسی‌های سنگ‌نگاری

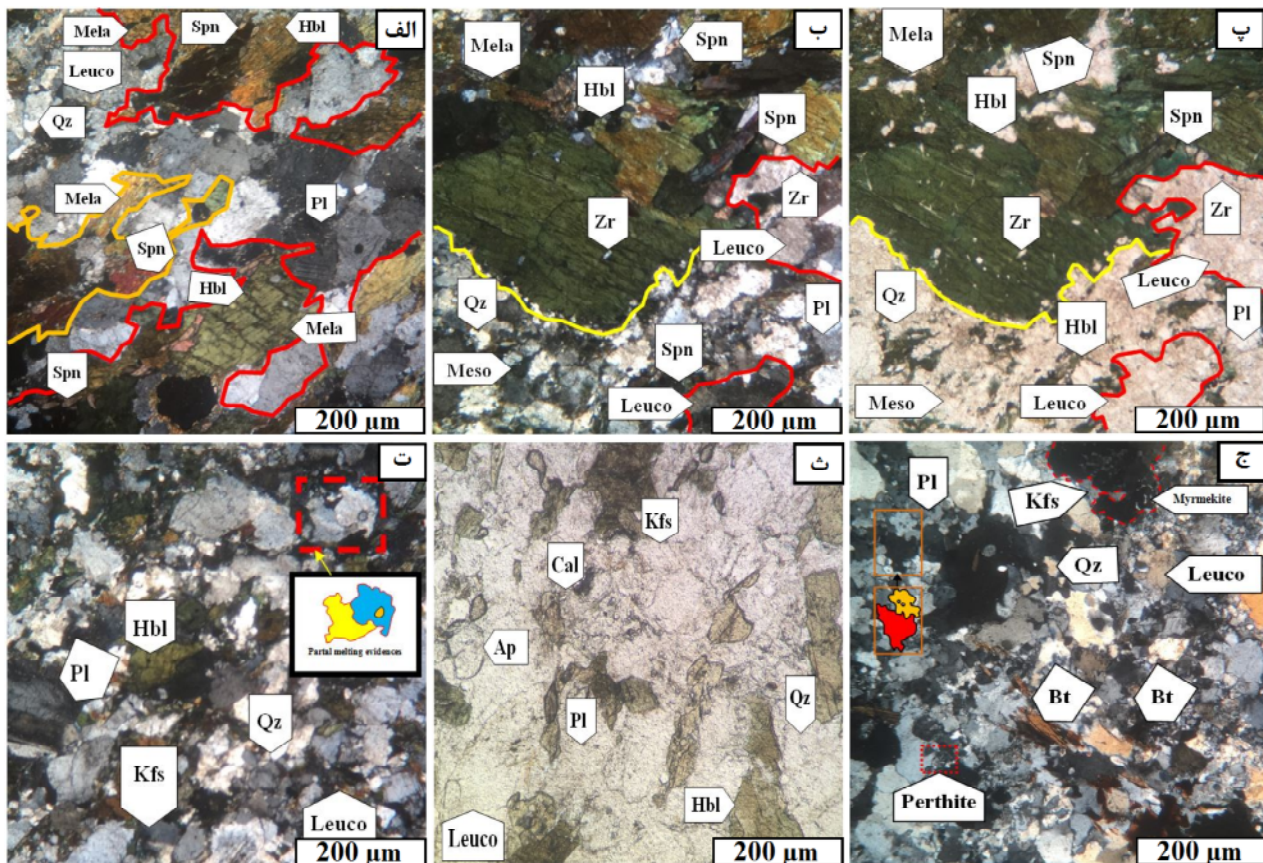
میگماتیت‌ها از نظر مگاسکوپی سنگ‌هایی مرکب بوده و از نظر سنگ‌نگاری دارای دو یا چند بخش مختلف هستند که یک بخش سنگ‌های پیرامون و لبه بوده و اغلب در مراحل دگرگونی شکل گرفته است و بخش دیگر ظاهری اغلب نفوذی و آذرین، گرانیتی-آپلیتی و یا میگماتیتی دارد [۱]. میگماتیت‌های قره ناز دارای سه بخش مجزای روشن، تیره و تیره-روشن هستند که هر یک ویژگی‌های سنگ‌نگاری ویژه‌ای دارند. در این پژوهش، بخش‌های تیره-روشن بخش‌های خاکستری رنگ در نمونه‌های دستی در نظر گرفته شده‌اند. هر بخش از نظر کانی-شناسی ویژگی‌های مشخصی دارد. کانی‌ها در بخش‌های روشن، تیره و تیره-روشن در میگماتیت‌های منطقه قره‌ناز در جدول ۱ آورده شده‌اند (نشانه‌های اختصاری کانی‌ها برگرفته از مرجع [۳۷] هستند). مجموعه کانی‌های موجود در بخش‌های مختلف میگماتیت‌های مورد بررسی در زیر توضیح داده شده‌اند.

بخش روشن: بخش‌های روشن در حد میلی متر تا چند ده سانتی متر و شامل بلورهای دانه درشت پلاژیوکلاز حدود ۹۰-۱۰۰ درصد و کوارتز ۲۰-۴۰ درصد هستند (به طور متوسط بلورهای پلاژیوکلاز و کوارتز دارای اندازه‌ای بیش از ۵mm

(شکل‌های ۳ الف، ب). بافت غالب در این بخش نخ شکفتی است. بلورهای هورنبلند در بخش تیره از ریز بلور تا درشت بلور متغیر (به طور متوسط دارای اندازه‌ای بیش از حدود ۵mm). هستند. همچنین اندازه بلورها در این بخش درشت‌تر از بلورهای موجود در بخش تیره-روشن است (شکل ۳ پ) و اغلب به صورت لایه‌های تیره رنگ غنی از هورنبلند پیرامون بخش‌های روشن و تیره-روشن (شکل‌های ۳ ب و پ) و یا به صورت لکه‌ای در بخش روشن دیده می‌شوند (شکل ۳ الف). برخی بلورهای هورنبلند دارای بافت غربالی با میانبارهای مختلف شامل کوارتز و زیرکن هستند (شکل ۳ پ).

موازی بخش‌های تیره و یا تیره-روشن‌ها قرار دارند (شکل ۳ الف). فلدسپار پتاسیم مانند کوارتز بیشتر به صورت بی‌شکل تا نیمه شکل‌دار بین کانی‌های دیگر قرار دارد که این نشان‌دهنده‌ی تشکیل آن در مراحل آخر تبلور مذاب است. از طرف دیگر، در برخی نمونه‌ها حضور بلورهای کوچک پلازیوکلاز در بلورهای آمفیبول و تا حدی بیوتیت نشان دهنده‌ی تبلور آنها در مراحل ابتدایی شکل‌گیری مذاب است.

بخش تیره: این بخش غنی از هورنبلند است و در حدود ۹۰ تا ۹۵ درصد این بخش را در بر می‌گیرد (شکل‌های ۳ الف تا پ). افزون بر این، کانی‌های بیوتیت، اسفن و در مقادیر کمتر پلازیوکلاز، زیرکن و کانی‌های کدر در این بخش وجود دارند



شکل ۳ سنگنگاری میگماتیت‌های مافیک قرقناز. (الف) مجاورت بلورهای پلازیوکلاز، کوارتز، اسفن و هورنبلند در بخش روشن و بلورهای هورنبلند، اسفن، پلازیوکلاز و کوارتز در بخش تیره و تشکیل بافت دانه‌ای، (در نور قطبیده متقاطع XPL)، ب و پ) اجزای مختلف میگماتیتی شامل بخش‌های روشن، تیره و تیره-روشن که بخش‌های روشن به صورت لکه‌ای در میان بخش‌های تیره و تیره-روشن قرار دارد و تشکیل بافت غربالی در هورنبلند با میانبارهای زیرکن می‌دهد، (به ترتیب در نورهای قطبیده متقاطع و صفحه‌ای XPL و PPL)، ت) بافت بین دانه‌ای بلورهای کوارتز در هورنبلند با میانبارهای زیرکن می‌دهد، (به ترتیب در نورهای قطبیده متقاطع و صفحه‌ای XPL و PPL)، (پ) پاتل چندريخت در بلورهای پلازیوکلاز که بیانگر ذوب بخشی هستند (XPL)، (ث) بين بلورهای پلازیوکلاز و فلدسپات پتاسیم و منطقه‌بندی و ماکل چندريخت در بلورهای پلازیوکلاز که بیانگر ذوب بخشی هستند (XPL)، (ج) نتیجه همرشدی بلورهای پلازیوکلاز، کوارتز، هورنبلند، فلدسپات پتاسیم، آپاتیت و کلسیت در بخش روشن (PPL)، و ج-تشکیل میرمکیت، پرتیت در نیوهای از بلورهای پلازیوکلاز، کوارتز، هورنبلند، فلدسپات پتاسیم، آپاتیت و کلسیت در بخش روشن (PPL)، (ج) نتیجه همرشدی بلورهای پلازیوکلاز و فلدسپات پتاسیم، مجاورت بلورهای پلازیوکلاز، کوارتز، فلدسپات پتاسیم و بیوتیت در بخش روشن، (XPL)

نشانه‌های اختصاری کانی‌ها برگرفته از مرجع [۳۷] است.

و Ap هستند.

شیمی کانی‌ها

براساس تجزیه به روش ریزپردازشی، کانی‌های دگرگونی موجود در نمونه‌های میگماتیتی شامل آمفیبول و پلاژیوکلاز در بخش‌های مختلف روش تیره و تیره-روشن هستند. نتایج این تجزیه‌ها که در جدول‌های ۲ و ۳ آمده است در ادامه توضیح داده می‌شود.

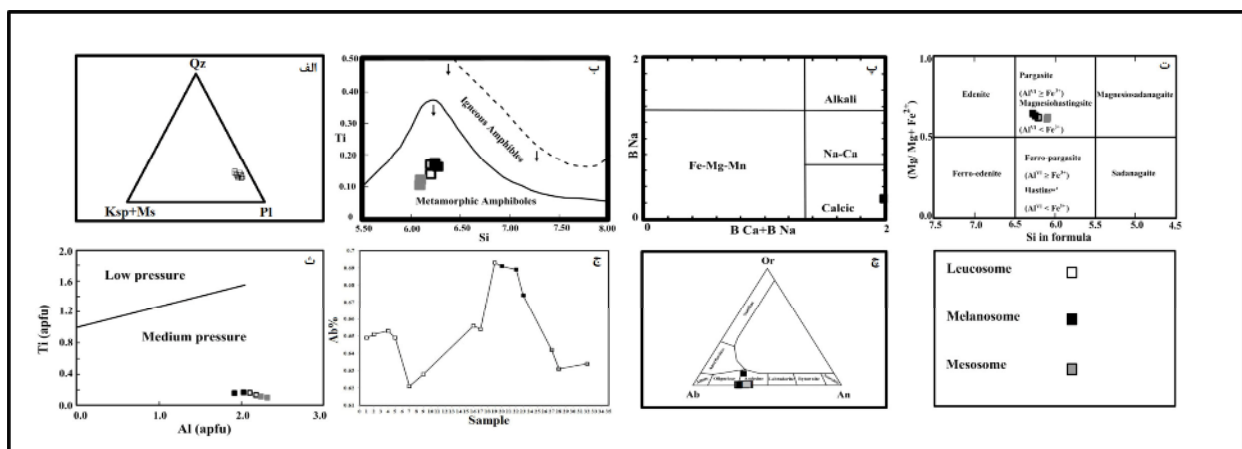
آمفیبول

نتایج تجزیه‌ی نقطه‌ای آمفیبول موجود در اجزای میگماتیتی بخش‌های روش، تیره و تیره-روشن به همراه فرمول ساختاری محاسبه شده براساس ۲۳ اکسیژن و ۱۳ کاتیون در جدول ۲ آورده شده است. مقدار میانگین کلسیم در آمفیبول‌ها در بخش روش ۱/۷۶، در بخش تیره ۱/۷۴ و در بخش تیره-روشن ۱/۷۴ اتم در واحد فرمولی (a.p.f.u) و مقدار میانگین سدیم در بخش روش ۰/۵۵، در بخش تیره ۰/۵۲ و در بخش تیره-روشن ۰/۵۶ a.p.f.u است. به منظور تفکیک آمفیبول‌های آذرین از آمفیبول‌های دگرگونی از نمودار $\text{Si}-\text{Ti}$ [۳۸] استفاده شد (شکل ۴ ب) که براساس آن، آمفیبول‌های مورد بررسی از نوع دگرگونی هستند. قرار گرفتن آمفیبول‌های بخش روش در گستره دگرگونی را می‌توان با آمفیبول‌های پریتکنیک تشکیل شده همراه با مذاب در ارتباط دانست.

بخش تیره-روشن: این بخش دارای بلورهای هورنبلند، پلاژیوکلاز، کوارتز، فلدسپات پتاسیم، اسفن و در مقادیر کمتر بیوتیت و زیرکن است (شکل‌های ۳ ب، پ). بلورهای هورنبلند دارای جهت یافته‌گی هستند و در تناب و با لایه‌های غنی از پلاژیوکلاز و فلدسپات پتاسیم، برگوارگی نشان می‌دهند. بلورها در بخش تیره-روشن دانه ریزتر از دو بخش دیگر است (شکل‌های ۳ ب و پ) و تبلور از حالت جامد را نشان می‌دهد. بافت غالب این بخش دانه شکفتی و نخ شکفتی است.

کانی‌شناسی مودال

نسبت‌های مودال پلاژیوکلاز- کوارتز- فلدسپات پتاسیم در بخش روش میگماتیت‌های منطقه قره‌ناز در شکل ۴ الف نشان داده شده است. مسکوویت همراه با فلدسپات پتاسیم است، زیرا در بیشتر موارد، مسکوویت تا اندازه‌ای جایگزین میکروکلین می‌شود. نه مسکوویت و نه بیوتیت، مقدار هیچ یک بیشتر از ۱۰ درصد حجمی در نمونه‌ها نیست و در اغلب مجموع ترکیب آن-ها کمتر از ۱۰ درصد حجمی است. ترکیب نمونه‌ها نزدیک به تونالیت تا دست کم گرانوادیوریت بوده که این امر به همراه بافت‌های موجود در این بخش بیانگر تبلور از مذاب است. بخش‌های روش اغلب یک روند کاهش Kfs به سمت ترکیبات $\text{Pl}-\text{Qz}$ را نشان می‌دهند. فازهای فرعی‌تر شناسایی شده در بخش‌های روش مورد بررسی شامل Ep , Chl , Zr , Bt , Hbl است.



شکل ۴ (الف) کانی‌شناسی مودال از ۲۶ بخش روش در میگماتیت‌های منطقه قره‌ناز بر نمودار کوارتز- پلاژیوکلاز- فلدسپات پتاسیم+ مسکوویت که نشان دهنده گرایش نمونه‌ها به غنی‌شدگی از پلاژیوکلاز و کوارتز است. (ب) نمودار $\text{Ti}-\text{Si}$ [۳۸] که براساس آن، آمفیبول‌های موجود در بخش‌های مختلف روش، تیره و تیره-روشن در میگماتیت‌های منطقه قره‌ناز خاستگاه دگرگونی نشان دارند، پ) نمودار تفکیک آمفیبول‌ها [۳۹] که با توجه به آن، آمفیبول‌های موجود در هر سه بخش میگماتیت‌های مورد بررسی واقع هستند. (ت) نمودار تفکیک آمفیبول‌ها [۴۰] که براساس آن آمفیبول‌های مورد بررسی از نوع مگنزیوهاستیگزیت هستند، (ث) نمودار $\text{Ti}-\text{Al}$ [۴۱] که بر پایه آن، آمفیبول‌های مورد بررسی در بخش‌های مختلف میگماتیت‌های منطقه قره‌ناز از انواع آمفیبول‌های فشار متوسط هستند، (ج) برش تغییرات Ab و An در پلاژیوکلازها مقایسه ترکیب پلاژیوکلاز در بخش‌های مختلف روش، تیره و تیره-روشن، (ج) ترکیب پلاژیوکلازها در بخش‌های مختلف میگماتیتی روش، تیره و تیره-روشن بر نمودار تقسیم‌بندی فلدسپات‌ها [۴۲].

آب در مذاب و مقدار گریزندگی اکسیژن افزایش ولی با افزایش دما کاهش می‌یابد [۴۵]. در شروع تبلور مذاب، پلاژیوکلاز با آنورتیت بالاتر متبلور شده و در صفحه آمفیبول محصور می‌شود. فشار بالای بخار آب سبب تبلور پلاژیوکلازهای غنی از آنورتیت می‌شود [۴۶، ۴۷]. افزون بر آن، مذاب‌های بازالتی آبدار پلاژیوکلازهای ایجاد می‌کنند که نسبت به مذاب‌های بی‌بنابراین پایین بودن درصد آنورتیت پلاژیوکلازها و فقر کانی‌های آبدار در بخش روشن موجود در میگماتیت‌های منطقه نشان می‌دهد که این کانی‌ها نمی‌توانند ناشی از تبلور یک مذاب آبدار در فشار بالا باشند. به عبارت دیگر، این پلاژیوکلازها از تبلور یک مذاب بی‌آب ایجاد شده‌اند. حضور هورنبلندها اپیدوت با پلاژیوکلاز در یک سنگ سبب فقر پلاژیوکلاز از آنورتیت می‌شود. پلاژیوکلاز همزیست با اکتینولیت از نوع آلبیت است، حال آن که پلاژیوکلاز همزیست با هورنبلندها از نوع الیگوکلاز یا آندزین است [۴۹] و این امر با نتایج تجزیه شیمیایی کانی‌های مورد بررسی همخوانی دارد. مقدار عضو نهایی ارتوز در بخش روشن 0.9% تا 1.198% ، در بخش تیره 0.69% تا 1.01% و در بخش تیره-روشن 0.8% تا 0.9% است (جدول ۳). فراوانی فلدسپار پتاسیم در بخش‌های مختلف میگماتیتی روشن، تیره و تیره-روشن کمتر از پلاژیوکلاز است. فلدسپار پتاسیم بیشتر به صورت بی‌شکل در میگماتیت‌های قرقمناز دیده می‌شود که نشان دهنده تشکیل آن در مراحل پایانی تبلور از مذاب است.

واکنش‌های ذوب و توزیع مذاب در میگماتیت‌های قره‌نار
واکنش‌های ذوب کانی‌ها به دو دسته و در نبود آن واکنش‌های
در حضور سیال تقسیم می‌شوند در واکنش‌های دوم آب می‌
تواند ناشی از واکنش‌های دگرگونی پیشرونده آبزدا در پهنه‌های
دگرگونی پایین‌تر از پهنه ذوب‌بخشی و یا آب وارد شده به
محیط دگرگونی از محیط خارج (fluid infiltration) باشد
[۵۱، ۵۰] و این واکنش‌های ذوب آبزدا هستند. از آنجا که
بسیاری از سنگ‌های دگرگونی درجه بالا دارای تخلخل کمتر از
۱٪ هستند و مقدار سیال موجود در حفره‌های آن‌ها نیز کم
است [۵۲، ۵۳]، امکان واکنش‌های ذوب نوع نخست در آن‌ها
محدود است. با شروع ذوب، یک سد نفوذناپذیر شیمیایی نسبت
به سیال تشکیل می‌شود که با جذب حجم بسیاری از سیال از
جریان سیال به سمت توده‌های نفوذی و یا خارج آن جلوگیری
می‌کند. در این حالت، اگر همه آب آزاد موجود در محل ذوب
بخشی توسط واکنش‌های ذوب در حضور سیال مصرف شود،

با توجه به تقسیم‌بندی بیان شده در مراجع [۴۰، ۳۹]، آمفیبیول‌های موجود در بخش‌های مختلف میگماتیتی در گروه آمفیبیول‌های کلسیمی قرار دارند (شکل ۴ پ) و از آنجا که در آمفیبیول‌های کلسیمی $\text{Ca/B} \geq 1.5$ و $(\text{Na}+\text{K})_{\text{A}} > 0.5$ و $\text{Ti} < 0.5$ [۳۹] و براساس یافته‌های مرجع [۴۰]، ترکیب آمفیبیول‌های مورد بررسی در گستره پارگازیت و مگنزیو-هاستنگزیت قرار دارد که با توجه به بالاتر بودن مقادیر Fe^{3+} نسبت به Al^{VI} ، این آمفیبیول‌ها از نوع مگنزیو-هاستنگزیت هستند (شکل ۴ ت). که مقدار Ti در نمونه‌های آمفیبیولی موجود در بخش‌های روشن، تیره و تیره-روشن کمتر از 0.5% است که این را می‌توان با شروع تبلور اسفن توجیه کرد. استفاده از نمودار Ti نسبت به Al [۴۱] از روش‌های برآورد فشار در زمان تشکیل متابازیت‌هاست. بر این اساس، هر چه فشار بیشتر باشد، مقدار تیتانیم موجود در آمفیبیول‌ها کاهش می‌یابد. با توجه به این امر، آمفیبیول‌های موجود در بخش‌های روشنی، تیره و تیره-روشن میگماتیت‌های منطقه قره‌ناز از نوع آمفیبیول‌های فشار متوسط هستند (شکل ۴ ث).

پلازیو کلaz

پلازیوکلاز فراوان ترین کانی فلزی در میگماتیت های منطقه قره ناز است. نتایج تجزیه ریزپردازشی فلذسپات ها به همراه فرمول ساختاری محاسبه شده آنها براساس ۸ اکسیژن و ۳ کاتیون در جدول ۳ آورده شده است. براساس نمودار Ab-Or-An [۴۲]، ترکیب پلازیوکلازهای بررسی شده در بخش های روشن، تیره و تیره-روشن در گسترهای آندزین و تا حدی الیگوکلاز قرار دارد (شکل ۴). به عبارت دیگر، برخی بلورهای موجود در بخش روشن و تا حدی تیره ترکیب سدیمی تر را نشان می دهند. مقدار عضو نهایی آلبیت در پلازیوکلازهای موجود در بخش های روشن ۶۸٪ تا ۶۹٪، در بخش تیره ۸۱٪ تا ۸۲٪ و در بخش تیره-روشن ۳۰٪ تا ۴۳٪ است. در بخش روشن تیره-روشن ۷۶٪، در بخش تیره ۵۹٪ تا ۶۴٪ و مقدار اعضای نهایی آنورتیت در نمونه های موجود در بخش روشن ۲۹٪ تا ۳۶٪، در بخش تیره ۳۰٪ تا ۳۳٪ و در بخش تیره-روشن ۹٪ تا ۳۴٪ است (جدول ۳). بر اساس تجزیه های صورت گرفته اختلاف چشم گیری بین ترکیب پلازیوکلازها در قسمت های مختلف میگماتیتی روشن، تیره و تیره-روشن دیده نمی شود (شکل ۴). گزارش شده است که درصد An و FeO در پلازیوکلاز رابطه‌ی مستقیمی با مقدار آب موجود در مذاب دارد [۴۳]. به عبارت دیگر، اشباع یا غیر اشباع بودن مذاب از آب می تواند اثر زیادی بر انتشار آهن بین مذاب و بلورها داشته باشد [۴۴]. مقدار آهن پلازیوکلاز متناسب با مقدار سیلیس و

افزایش دما در میگماتیت‌های منطقه قره‌ناز، واکنش‌های آبدار به واکنش‌های بی‌آب تبدیل می‌شوند.

واکنش ذوب آبزدا؛ این واکنش‌ها به عنوان واکنش‌های ذوب بدون سیال شناخته شده [۵۹] و در نتیجه شکستن یک کانی آبدار سبب تولید مذاب و کانی‌های بدون آب می‌شوند. واکنش‌های ذوب آبزدا باعث تشکیل مجموعه کانی‌های درجه بالای دگرگونی در میگماتیت‌های برآمده از ذوب بخشی می‌شوند. در این واکنش‌ها، مقداری آب تولید می‌شود و اگر در منطقه‌ای بیوتیت درصد بالایی از سنگ‌های منطقه را تشکیل دهد، مقدار آب تولیدی کم است. دلیل آن می‌تواند این باشد که گاه بیوتیت پایدار می‌ماند و احتمال شکسته شدن آن و تولید آب کم است و در صورت شکسته شدن، مقدار آب تولید شده برای ذوب بخشی کافی نیست. در این واکنش‌ها، فعالیت سیال پایین بوده است و همه فازهای واکنش‌گر به صورت جامد ولی فراورده‌ها به صورت جامد و مذاب هستند. به دلیل بالا بودن حجم مولی مذاب + فاز پریتکنیک در فراورده‌های واکنشی نسبت به حجم مولی فازهای جامد در واکنش‌گرها، اختلاف حجم واکنش‌های ذوب آبزدا مثبت می‌شود [۶۰]. اختلاف حجم مثبت ($\Delta V > 0$) در واکنش‌های ذوب آبزدا باعث ایجاد فشار در اثر تشکیل مذاب و در نتیجه منجر به شکستگی‌های ناشی از افزایش فشار سیال می‌شود [۶۱]. افزون بر جایگیری مذاب بخش روش در نتیجه شکستگی‌های ناشی از افزایش فشار سیال، لایه‌بندی و برگوارگی اولیه سنگ‌های آمفیبوليتي نیز در توزیع مذاب و تشکیل بخش‌های روش لایه‌ای موثر هستند. ذوب بخشی در پوسته‌های میانی و پایینی در پاسخ به شکسته شدن کانی‌های آبدار مانند بیوتیت، مسکوویت و آمفیبوليها رخ می‌دهد [۶۰، ۶۱] و مقدار مذاب تولید شده اغلب با مقدار کانی‌های آبدار سنگ مادر ارتباط دارد [۶۲]. افروز بر موارد یاد شده، فلور و بور در کنار آب اثر زیادی بر ارتباطات فازی در سامانه باقیمانده کوارتز+آلبیت \leftarrow ارتوز در حالت اشباع از سیلیس و آبدار دارند، به طوری که سنگ‌های غنی از فلور و بور ممکن است در دماهای کمتری نسبت به سنگ‌های مشابه خود (بدون فلور و بور) ذوب شوند. این عناصر در ساختار میکا و آمفیبوليها وارد شده و در نبود آب باعث شکسته شدن این کانی‌ها می‌گردند که در این بین، نقش فلور بیشتر است [۶۳، ۶۴]. واکنش‌های ذوب آبزدای بیوتیت و هورنبلند مهم‌ترین واکنش‌های اثرگذار بر فرایند ذوب بخشی هستند [۶۵-۶۷]. واکنش‌های ذوب آبزدای هورنبلند و بیوتیت در جدول ۴ آمده است.

فعالیت آب در محل ذوب کاهش می‌یابد [۵۱] و در نتیجه با افزایش دما در نبود آب، ذوب در نتیجه واکنش‌های نبود (بدون حضور آب آزاد) ادامه می‌یابد [۵۶-۵۶] (مانند شکستن کانی‌های آبدار و سپس تشکیل کانی‌های بی‌آب). با توجه به این مطالب می‌توان گفت که مهم‌ترین واکنش‌های ذوب در سنگ‌های دگرگونی درجه بالا (به جز در شرایط آب با خاستگاه خارجی) واکنش‌های در نبود سیال هستند و مجموعه کانی‌های دگرگونی درجه بالا مانند پیروکسن در ارتباط با از بین رفتان بیوتیت یا آمفیبول طی واکنش‌های نگهدارنده سیال تشکیل می‌شوند. به این علت در سنگ‌های با مجموعه کانی‌های یاد شده بیشتر بافت و ساخت ذوب بخشی دیده می‌شود [۵۷]. توزیع مذاب در میگماتیت‌های منطقه قره ناز توسط واکنش‌های ذوب کنترل شده است. مهم‌ترین واکنش‌های ذوب طی فرایند ذوب بخشی در میگماتیت‌های مورد بررسی به دو نوع اصلی در حضور سیال و بدون سیال تقسیم می‌شوند:

واکنش‌های ذوب در حضور سیال: حضور سیال، به ویژه آب، در فرایند ذوب بخشی نقش مهمی دارد و نبود آن از دلایل ذوب نشدن سنگ‌های با ترکیب شیمیایی مناسب در دماهای بالاست [۵۸]. برخی از میگماتیت‌های منطقه قره ناز با واکنش‌هایی همراه هستند که در آن سیال آبدار آزاد در مذاب حل می‌شود. این واکنش‌ها در فعالیت بالای آب صورت می‌گیرند. دو خاستگاه احتمالی برای این آب را می‌توان سیال خارجی و سیال ناشی از واکنش‌های دگرگونی پیشرونده در نظر گرفت. مذاب برآمده از ذوب بخشی همه‌ی سیال‌های آبدار موجود در محل ذوب را مصرف کرده و در نتیجه باعث کاهش فعالیت آب و تغییر شرایط تعادل فازی سنگ ناز توسط واکنش‌های ذوب [۵۹]. با ادامه مصرف سیال آزاد توسط واکنش‌های ذوب در حضور سیال آزاد، ذوب بیشتر میگماتیت‌های مورد بررسی در نبود سیال با افزایش دما انجام می‌شود. واکنش‌های ذوب در حضور سیال در میگماتیت‌های قره‌ناز به دلیل پایین بودن حجم فرآورده‌های تولیدی ($0 < \Delta V$) نمی‌توانند باعث ایجاد فشارهای کافی برای شکستگی شود. از دگرگونی‌های فیزیکی ناشی از ذوب بخشی می‌توان به تغییر شکل جریانی سنگ‌های ذوب شده اشاره کرد که اثر زیادی بر جایگیری توده دارد. ساختارهای ایجاد شده در این دسته شامل ساختارهای لکه‌ای است. به دلیل وجود سیال آزاد در این نوع واکنش‌ها، کانی‌های آبدار در دماهای بالاتر پایدارتر باقی می‌مانند. واکنش‌های احتمالی ذوب در حضور سیال در منطقه قره ناز با توجه به کانی‌شناسی بخش‌های روش در جدول ۴ ارائه شده است. با

جدول ۴ مهم‌ترین واکنش‌های ذوب در طی فرایند ذوب بخشی در میگماتیت‌های منطقه قره‌نماز.

و اکنش های ذوب در حضور سیال	و اکنش های ذوب آبزد ا
$Pl \pm Kfs + Qz + H2O = L$	$Bt + Qz = Opx + Kfs + L$
$Bt + Kfs + Qz + H2O = L$	$Bt + Hbl + Qz = Opx + Kfs + Pl + L$
	$Qz + Bt + H2O = Opx + L$
	$Hbl + Qz = Opx \pm Cpx \pm Pl + L$
	$Hbl + Qz = Opx + Kfs + Pl + L$
	$Hbl + Qz = Cpx + Pl + L$
	$Hbl = Opx + Cpx + Pl (An) + L$
	$Hbl = Opx + Cpx + Qz + L$

عناصر مختلف در جایگاه های گوناگون بطورشناسی وابسته به عوامل مختلفی چون دما، فشار و گریزندگی اکسیژن است [۷۳]. از این رو، براساس مقادیر این عناصر می توان تا حدی به شرایط دما و فشاری تشکیل این کانی طی دگرگونی پی برد. توزیع عنصر Al [۷۴-۷۸] و NaB [۷۹، ۸۰] در کانی آمفیبیول وابسته به فشار است و بنابراین از آنها می توان برای تعیین فشار دگرگونی و آذرین استفاده کرد. تاکنون روش های مختلفی برای تعیین فشار دگرگونی برای ترکیب آمفیبیول های کلسیمی ارائه شده است. فشار سنج های متفاوتی نیز بر اساس مقدار Al در کانی آمفیبیول پیشنهاد شده است. البته استفاده از این فشار سنج ها نیازمند شرایط ویژه ای در سنگ هاست. این فشار سنج ها بیشتر برای سنگ های کلسیمی قلیایی به کار می روند که در ترکیب کانی شناسی آن ها کانی های کوارتز، مگنتیت و فلدسپار قلیایی، پلازیوکلاز، هورنبلنده، بیوتیت، مگنتیت و ایلمنیت به صورت همزیست حضور داشته باشند [۸۱، ۷۵]. این مجموعه کانی شناسی از آنجا که مقدار Al در هورنبلنده بر اساس مقدار فشار بافر می کند، مقدار Al موجود در هورنبلنده به طور مستقیم فشار را نشان می دهد [۶۹]. پژوهشگران بسیاری [۸۲-۸۴] در مطالعات خود از این فشار سنج استفاده نموده اند. بنابراین، این پژوهش برای تعیین فشار دگرگونی در سنگ های منطقه از این فشار سنج استفاده شد. تاکنون واسنجی های متفاوتی برای فشار سنج Al در هورنبلنده ارائه شده است [۶۹، ۷۴-۷۸]. که هر یک مناسب شرایط دما و فشاری ویژه ای هستند. بررسی های مختلف پیرامون واسنجی های مختلف نشان می دهد که روش ارائه شده در مرجع [۷۳] برای تعیین فشار دگرگونی در سنگ های مورد بررسی مناسب است. نتایج این فشار سنجی با روش های دیگر فشار سنجی [۷۳-۷۵] مقایسه شد (جدول ۵). نتایج فشار سنجی آمفیبیول به روش مرجع [۷۳] ممکن بوده و نشان می دهد که فشار در بخش روشن [۶۶۵ تا ۷۰۴] کیلوبار، در بخش تیره ۵/۷۱ تا ۶/۲۶ کیلوبار و در بخش تیره روشن [۷۳ تا ۷۷۳] کیلوبار بوده است (حدها، ۵).

دما- فشار سنجی

برای تعیین دقیق شرایط دما و فشار تشکیل میگماتیت‌های منطقه از روش‌های زمین دما- فشارسنجد استفاده شد. با توجه به کانی‌های موجود در اجزای مختلف میگماتیتی، از فشارسنجد آمفیبول و دماسنجد هورنبلند- پلازیوکلاز استفاده شد.

دماستنجی: دماستنجی بربایه‌ی زوج کانی هورنبلند- پلاژیوکلاز همزیست [۶۸-۷۲] از متدالوین و مهم‌ترین روش‌های تعیین دما در متابازیت‌ها به شمار می‌رود. برای استفاده از این دو کانی به عنوان یک دماستنج، لازم است که در بررسی‌های سنگ شناسی، آمفیبیول کلسیمی و پلاژیوکلاز در حالت تعادل باشند.

اشمیت [۶۸] بر اساس جانشینی ادنیتی و چرماتکیتی در ترکیب شیمیایی آمفیبیول‌ها، نخستین دماستنجی بر پایه زوج کانی هورنبلند- پلاژیوکلاز را ابداع کرد و سپس اندرسن و اسمیت [۷۰] آن را بازواستنجی نموده و با توجه به واکنش‌های ادنیت + ۴ کوارتز = ترمولیت + آلبیت و ادنیت + آلبیت = ریچتریت + آنورتیت به کار برdenد. واکنش نخست مربوط به شرایط وجود کوارتز در سنگ و واکنش دوم برای شرایط بدون کوارتز است. به این منظور، نخست ۶ جفت آمفیبیول و پلاژیوکلاز همzیست در بخش‌های مختلف میگماتیتی روشن، تیره و تیره-روشن انتخاب گردید و سپس دماستنجی براساس فشار متوسط و بیشینه به ترتیب ۵ و ۸ کیلوبار برای سنگ‌های مورد بررسی انجام شد (جدول ۵) [۷۱، ۷۲]. دماهای میانگین بربایه زوج بلورهای آمفیبیول و پلاژیوکلاز کنار هم در بخش روشن در فشار ۵ کیلوبار برابر با $838/25$ درجه سانتی‌گراد و در فشار ۸ کیلوبار، $788/74$ درجه سانتی‌گراد، در بخش تیره در فشار ۵ کیلوبار، $815/56$ درجه سانتی‌گراد و در فشار ۸ کیلوبار، $767/06$ درجه سانتی‌گراد، در بخش تیره-روشن در فشار ۵ کیلوبار برابر با $868/5$ درجه سانتی‌گراد و در فشار ۸ کیلوبار، $817/64$ درجه سانتی‌گراد به دست آمد.

فشارسننجی: استفاده از ترکیب آمفیبیول یکی از رایج‌ترین روش-ها برای فشارسننجی است. در ترکیب کانی، آمفیبیول، تمکز-

جدول ۵ نتایج دماسنجدی هورنبلند-پلازیوکلاز و فشارسنجدی آمفیبیول در بخش‌های مختلف روشن، تیره و تیره-روشن میگماتیت‌های مافیک منطقه قره ناز.

نمونه		[۷۰] (oC)		[۷۳] P±۳kb	[۷۵] P±۱kb	[۷۶] P±۱kb
		۵kb	۸kb			
Leuco	Amp Hg1, Pl Hg16	۸۳۶,۰۲	۷۸۶,۶۲	۷,۰۴	۷,۵۳	۵,۷۶ متوسط ۵,۲۳-۶,۲۸
Leuco	Amp Hg2, Pl Hg17	۸۴۰,۴۸	۷۹۰,۸۷	۶,۶۵	۷,۰۹	۵,۴۳ متوسط ۴,۹۱-۵,۹۴
Mela	Amp Hg5, Pl Hg22	۸۱۶,۸۴	۷۶۸,۲۹	۶,۲۶	۶,۶۶	۵,۱۰ متوسط ۴,۶۰-۵,۶۰
Mela	Amp Hg6, Pl Hg23	۸۱۴,۲۸	۷۶۵,۸۴	۵,۷۱	۶,۰۳	۴,۶۴ متوسط ۴,۱۵-۵,۱۳
Meso	Amp Hg13, Pl Hg27	۸۶۷,۷۳	۸۱۶,۹۱	۷,۷۳	۸,۳۰	۶,۳۴ متوسط ۵,۸۰-۶,۸۸
Meso	Amp Hg14, Pl Hg28	۸۶۹,۲۷	۸۱۸,۳۸	۷,۳۳	۷,۸۶	۶,۰۰ متوسط ۵,۴۷-۶,۵۳

بخش روشن نشان دهنده تشکیل آمفیبیول‌های پری تکتیک همراه با مذاب است. نتایج تجزیه به روش ریزکاو الکترونی نشان می‌دهد که آمفیبیول‌های موجود در اجزای مختلف میگماتیتی کلسیمی و از نوع مگنزیو-هاسینگزیت هستند. به طور کلی، پلازیوکلазهای موجود در بخش‌های مختلف میگماتیتی از نوع آندزین و تا حدی الیگوکلاز و شامل حدود ۶۶ درصد آلبیت و ۳۴ درصد آنورتیت هستند. توزیع مذاب در میگماتیت‌های قره‌نماز توسط واکنش‌های ذوب کنترل می‌شود، میگماتیت‌های قره‌نماز توزیع مذاب را در حضور سیال به طوری که با افزایش دما، واکنش‌های ذوب در حضور سیال به واکنش‌های ذوب آبزدا تبدیل می‌گردند. نتایج دما- فشارسنجدی در بخش‌های مختلف میگماتیت‌های قره ناز نشان می‌دهد که به طور متوسط دما حدود ۷۶۷ تا ۸۶۸ درجه سانتی‌گراد و فشار در حدود ۵/۷ تا ۷/۷ کیلوبار است.

مراجع

- [1] Mehnert K. R., "Migmatites and the Origin of Granitic Rocks", Elsevier, Amsterdam, (1968) 393.
- [2] Brown M., "The definition of metatexis, diatexis and migmatite", Proc. Geol. Assoc, 84(1973) 371-382.
- [3] Kriegsman L.M., "Partial melting, partial melt extraction and partial back reaction in anatectic migmatites", Lithos, 56(2001) 75-96.

برداشت

مجموعه دگرگونی تکاب به صورت یک همتافت مرکزی در نظر گرفته می‌شود که طی کشش میوسن دستخوش بالآمدگی شده آند و بر این اساس میگماتیتی شدن در منطقه رخ داده است. با افزایش حجم مذاب و به هم ریختگی ساختارهای دگرگونی میگماتیت‌های منطقه از متاتکسیت به دیاتکسیت تبدیل می‌گردد. این میگماتیت‌ها دارای بخش‌های مختلف روشن با کانی‌های اصلی پلازیوکلاز و کوارتز و بلورهای دانه درشت با ظاهری شبیه سنگ‌های آذرین و بافت غالب دانه‌ای، تیره-روشن شامل کانی‌های هورنبلند، پلازیوکلاز، کوارتز، فلدسپات پاتاسیم، اسفن، بیوتیت و زیرکن و ظاهری مشابه سنگ‌های دگرگونی با بافت غالب دانه شکفتی است بخش تیره از نظر اندازه بلورها بین بخش‌های روشن و تیره-روشن است و بیش از نیمی از آن را بلورهای هورنبلند تشکیل می‌دهد. ساخت آذرین در بخش روشن، تفاوت بافتی بین بخش‌های روشن و تیره، ترکیب کانی‌شناسی بخش روشن و محدود بودن تشکیل بخش‌های روشن همه گویای فرایند ذوب بخشی در تشکیل میگماتیت‌ها هستند. نتایج تجزیه شیمی کانی‌های آمفیبیول در بخش‌های مختلف میگماتیتی بیانگر خاستگاه دگرگونی آن است، خاستگاه دگرگونی آمفیبیول‌های موجود در

- [14] Holtz F., "Importance of melt fraction and source rockcomposition in crustal genesis; the example of two graniticsuites of northern Portugal.", *Lithos*, 24(1989) 21–35.
- [15] Brown M., Averkin Y.A., McLellan E.L., Sawyer E.W., "Melt segregation in migmatites." In: Brown, M., Rushmer, T., Sawyer, E.W. Eds. , Mechanisms and Consequences of MeltSegregation from Crustal Protoliths. *J. Geophys. Res. B*, 100(1995) 15655–15679.
- [16] Stocklin J., "Structural history and tectonics of Iran", a review: American Association of petroleum. *Geologists Bulletin*, 52(1968) 1229–1258.
- [17] Stöcklin J., "Possible ancient continental margins in Iran." In: Burk, C.A. and Drake, C.L. (eds). *The Geology of Continental Margins*. Springer-Vcrlag, Berlin, (1974) 873-887.
- [18] Berberian M., King G.C.P., "Towards a paleogeography and tectonic evolution of Iran." *Canadian Journal of Earth Sciences*, 18(1981) 210–265.
- [19] Oberhänsli R., Rimmelé G., Candan O., Okay A., "Relics of high - pressure metamorphism in the bitlis massif (VAN region, E Turkey)." *Mitt Öst. Mineral. Gesell*, (2005) 150.
- [20] Hetzel R., Passchier C.W., Ring U., Dora O.O., "Bivergent extension in orogenic belts-the Menderes massif(southwestern Turkey)", *Geology*, 23(1995) 455–458.
- [21] B'echennec F., Le M'etour J., Rabu D., Beurrier M., Bourdillon-Jeudy-De-Grissac C., De Wever P., Tegyey M., Villey M., "G'eologie d'une chaîne issue de la T'ethys: les montagnes d'Oman. " *Bulletin de la Soci'et'e g'eologique de France*, 2(1989) 231–40.
- [22] Hassanzadeh J., Stockli D. F., Horton B. K., Axen G. J., Stockli L. D., Grove M., Schmitt A. K., Walker J. D., "U-Pb zircon geochronology of late Neoproterozoic-Early Cambrian granitoids in Iran: implications for paleogeography, magmatism, and exhumation history of Iranian basement", *Tectonophysics* 451(2008) 71-96.
- [23] Honarmand M., Li X.H., Nabatian G., Rezaeian M., Etemad-Saeed N., "Neoproterozoic–
- [4] Spear F.S., "Metamorphic phase equilibria and pressure-temperature-time paths". *Mineralogical Society of American. Monogr. Ser*, 1(1993) 799.
- [5] Ashworth J. R., Brown M., "An overview of diverse responses to diverse processes at high crustal temperatures. " In: J. R. Ashworth and M. Brown (Eds.): *High-temperature Metamorphism and Crustal Anatexis*. Mineralogical Society of Ser, Unwin Hyman, London, 2(1990) 1–18.
- [6] Álvarez-Valero A.M., Kriegsman L.M., "Partial crustal melting beneath the Betic Cordillera (SE Spain): the case study of Mar Menor volcanic suite". *Lithos*, 101(2008) 379-396.
- [7] Sawyer E.W., "Migmatites formed by water-fluxed partial melting of a leucogranodiorite protolith: Microstructures in the residual rocks and source of the fluid. " *Lithos*, 116(2010) 273–286.
- [8] Johannes W., "What controls partial melting in migmatites? " In: Tracy R.J., Day H.W. Eds., *Studies in the Genesis and Deformation of Migmatites*. *J. Metamorph. Geol*, 6(1988) 451–465.
- [9] Olsen S.N., "Open and closed – system migmatites in Front Range, Colorado", *Amer.Jour.Sci*, 282(1982) 1596-1622.
- [10] Jianghai W., Shangxian D., Liyang Z., Xiangyang C., "Geological and geochemical evidence for discriminating anatetic and subsolidus migmatites in the Dabieshan Complex, northeastern Hubei Province." *Chinese Journal of Geochemistry* 16 2(1997) 112–122.
- [11] Weber C., Barbey P., Cuney M., Martin H., "Trace element behaviour during migmatisation. Evidence for a complex of melt-residum-fluid interaction in the St - Malo migmatitic dome (France)", *Contributions to Mineralogy and Petrology*, 90(1985) 52-62.
- [12] Sawyer E.W., "Criteria for the recognition of partial melting, Physics and Chemistry of the Earth", part a-solid earth and geodesy, 24 3 (1999) 269-279.
- [13] Weinberg R.F., "Melt segregation structures in granitic plutons", *Geology*, 34 4 (2005) 305-308.

- [32] Babakhani A.R., Ghalamghash J., "Geological map of Iran, Geological Survey of Iran, series sheet Takht-e-Soleiman, scale 1:100,000." (1990).
- [33] Stockli D.F., Hassanzadeh J., Stockli L.D., Axen G., Walker J.D., Dewane T.J., "Structural and geochronological evidence for Oligo-Miocene intra-arc low-angle detachment faulting in the Takab-Zanjan area, NW Iran." Abstract, Programs Geological Society of America, 36(2004) 319.
- [34] Shafaii Moghadam H., Li X-H. J., Stern R., Ghorbani Gh., Bakhshizad F., "Zircon U-Pb ages and Hf-O isotopic composition of migmatites from the Zanjan-Takab complex, NW Iran: Constraints on partial melting of metasediments", Lithos, 240-243(2016) 34-48.
- [35] Moazzen M., Hajialioghli R., "Zircon SHRIMP dating of mafic migmatites from NW Iran, Reporting the oldest rocks from the Iranian crust." 5th Annual Meeting AOGS, Busan, Korea SE62 (2008).
- [36] Hajialioghli R., Moazzen M., Jahangiri A., Oberhänsli R., Mocek B., Altenberger U., "Petrogenesis and tectonic evolution of metaluminous sub-alkaline granitoids from the Takab Complex, NW Iran." Geological Magazine 148 2 (2011) 250-268.
- [37] Whitney D.L., Evans B.V., "Abbreviations for names of rock-forming minerals." American Mineralogist, 95 1 (2010) 185–187.
- [38] Leake B.E., "The relationship between composition of calciferous amphibole and grade of metamorphism", In W.S. Pitcher and G.W. Flinn, Eds., Controls of Metamorphism Wiley New York (1965) 299–318.
- [39] Leake B.E., Woolley A.R., Arps C.E.S., Birch W.D., Gilbert M.C., Grice J.D., Hawthorne F.C., Kato A., Kisch H.J., Krivovichev V.G., Linthout K., Laird J., Mandarino J., Maresch W.V., Nickel E.H., Rock N.M.S., Schumacher J.C., Smith D.C., Stephenson N.C.N., Ungaretti L., Whitaker E.J.W., Youzhi G., "Nomenclature of amphiboles: report of the Subcommittee on Amphiboles of the International Mineralogical Association Commission on New Minerals and Mineral Names" Mineralogical Magazine, 61 (1997) 295–321.
- Early Cambrian tectono magmatic evolution of the Central Iranian terrane, northern margin of Gondwana: constraints from detrital zircon U-Pb and Hf-O isotope studies". Gondwana Res. 37(2016) 285-300.
- [24] Honarmand M., Xiao W., Nabatian G., Blades M.L., dos Santos M.C., Collins A.S., Ao S., "Zircon U-Pb-Hf isotopes, bulk-rock geochemistry and Sr-Nd-Pb isotopes from late Neoproterozoic basement in the Mahneshan area, NW Iran: implications for Ediacaran active continental margin along the northern Gondwana and constraints on the late Oligocene crustal anatexis". Gondwana Res. 57(2018) 48–76.
- [25] Şengör A.M.C., "The Cimmeride orogenic system and the tectonics of Eurasia", Geological Society of America, Spec, 195(1984) 82.
- [26] Mohajjel M., Fergusson C., Sahandi, M., "Cretaceous-Tertiary convergence and continental collision, Sanandaj-Sirjan zone, western Iran." Journal of Asian Earth Sciences, 21 4 (2003) 397-412.
- [27] Mohajjel M., Fergusson C.L., "Dextral transpression in Late Cretaceous continental collision, Sanandaj-Sirjan Zone, western Iran." J Struct Geol 22(2000) 1125–1139.
- [28] Moazzen M., Moayyed M., Modjarrad M., Darvishi, E., "Azna gra-nitoid as an example of syn-collision S-type granitisation in Sanandaj-Sirjan meta-morphic belt, Iran." N. Jb. Miner. Mh, 11(2004) 489–507.
- [29] Gilg H.A., Boni M., Balassone G., Allen C. R., Banks D., Moore F., "Marble-hosted sulfide ores in the Angouran Zn- (Pb-Ag) deposit, NW Iran: interaction of sedimentary brines with a metamorphic core complex." Mineralium Deposita, 41(2006) 1-16.
- [30] Alavi M., "Tectonics of the Zagros orogenic belt of Iran: New data and interpretation" Tectonophysics 229(1994) 211-238.
- [31] Alavi M., "Regional Stratigraphy of the Zagros Fold-Thrust belt of Iran and its preforeland evolution." American Journal of science, 304(2004) 1-20.

- present zone of a thermal aureole: Evidence from H₂O contents of cordierites", Geology*29 4 (2001) 311-314.
- [52] Pattison D. R. M., Tracy R. J., "Phase equilibria and thermobarometry of metapelites." In: Kerrick, D. M. (ed) Contact Metamorphism. Mineralogical Society of America, Reviews in Mineralogy, 26(1991) 105-206.
- [53] Janardhan A. S., Newton R. C., Hansen, E. C., "The transformation of amphibolite facies gneiss to charnockite in southern Karnataka and northern Tamil Nadu, India." Contributions to Mineralogy and Petrology, 79(1982) 130-149.
- [54] Thompson A. B., "Dehydration melting of pelitic rocks and the generation of H₂O-under saturated granitic liquids", American Journal of science, 282(1982) 1567-1595.
- [55] Thompson A. B., Heat, "Fluids and Melting in the Granulite Facies. In: Vielzeuf, D. and Vidal, Ph. (eds.), Granulites and Crustal Evolution." Kluwer Academic (1990) 37-58.
- [56] Nair R., Chacko T., "Fluid-absent melting of two high grade amphibolites: constraints on the conditions required for orthopyroxene formation." Geological Association of Canada-Mineralogical Association of Canada Annual Meeting, Abstracts with Program, 43(2000) 2042-2121.
- [57] Kerrick D.M., "Overview of contact metamorphism. In: Contact Metamorphism", Kerrick, D.M. (ed.). Reviews in Mineralogy, Mineralogical Society of America26(1991).
- [58] Tuttle O.F., Bowen N.L., "Origin of granite in the light of experimental studies in the system NaAlSi₃O₈-KAlSi₃O₈-SiO₂-H₂O." Geological Society of America, Memoir, 74(1958).
- [59] Spear F.S. "Metamorphic Phase Equilibria and Pressure-Temperature-Time Paths," Mineral. Soc. Amer. Monograph (1995).
- [60] Clemens J.D., Droop G.T.R., "Fluids, P-T paths and thefates of anatectic melts in the Earth's crust." In: Clemens, J.D.,Hutton, D.H. Eds. , Generation of Granitic Rocks and DeepCrustal Processes. Lithos, 44(1998) 21–36.
- [61] Nicolas A., "Jackson M., High temperature dikes in peridotites: Origin by hydraulic
- [40] Locock A.J., "An Excel spreadsheet to classify chemical analyses of amphiboles following the IMA 2012 recommendations", Computers and Geosciences 62(2014) 1-11.
- [41] Hynes A., "A comparison of amphiboles from medium and low pressure metabasites", Contributions of Mineralogy and Petrology 81(1982) 119-125.
- [42] Deer W.A., Howie R.A., Zussman J., "An introduction to the rock forming minerals", Longman Scientific and Technical, (1991) 528.
- [43] Koepke J., Feig S.T., Snow J., Freise M., "Petrogenesis of oceanic plagiogranites by partial melting of gabbros: an experimental study", Contributions to Mineralogy and Petrology, 146 (2004) 414-432.
- [44] Pietranik A., Koepke J., Puziewicz J., "Crystallization and resorption in plutonic plagioclase: Implications on the evolution of granodiorite magma (Gesiniec granodiorite", Strzelin Crystalline Massif, SW Poland). Lithos, (2005) 1-21.
- [45] Lundgaard K.L., Tegner C., "Partitioning of ferric and ferrous iron between plagioclase and silicate melt", Contributions to Mineralogy and Petrology, 147 (2004) 470-483.
- [46] Johannes W. , "Melting of plagioclase in the system Ab-An-H₂O and Qz-Ab-An-H₂O at PH2O = 5 • 10⁵ Pa, an equilibrium problem", Contrib. Mineral. Petrol, 66 (1978) 295- 303.
- [47] Bagci U., Parlak O., Hock V., "Geochemical character and tectonic environment of ultramafic to mafic cumulate rocks from the Tekirova (Antalya) ophiolite (southern Turkey)." Geol. J, 41(2006) 193-219.
- [48] Arculus R. J. , Wills K. J. A., "The petrology of plutonic blocks and inclusions from the Lesser Antilles island arc. " J Petrol 21(1980) 743–99.
- [49] Moein Vaziri H., "Petrology of metamorphic rocks", Tarbiat Moallem University Press, (1998) 440.
- [50] Ashworth J.R., "Introduction. In: Ashworth, J.R. Ed. ,Migmatites." Blackie and Son, Glasgow, UK, (1985) 36–85.
- [51] Moazzen M., Droop G. T. R., Harte B., "Abrupt transition in H₂O activity in the melt –

- [72] Otten M.T., "The origin of brown hornblende in Artfjallet gabbro and dolerites", Contributions to Mineralogy and Petrology 86(1984) 189-199.
- [73] Hammarstrom J.M., Zen E., "Aluminum in hornblende: An empirical igneous geobarometer", American Mineralogist 71 (1986) 1297-1313.
- [74] Johnson M.C., Rutherford M.J., "Experimentally calibration of the aluminum-in-hornblende geo-barometer with application to Long Valley caldera (California) volcanic rocks." Geology, 17(1989) 837-841.
- [75] Hollister L.S., Grissom G.E., Peters E.K., Stowell H.H., Sisson V. R., "Confirmation of the empirical correlation of Al in hornblende with pressure of solidification of calc-alkaline plutons." American Mineralogist, 72(1987) 231-239.
- [76] Poli S., Schmidt M.W., "A comment on Calcic amphibole equilibria and a new amphibole-plagioclase geothermometer". Contributions to Mineralogy and Petrology, 111(1992) 273-278.
- [77] Spear F.S., "Amphibole- plagioclase equilibria: An empirical model for the relation albite+ tremolite= edenite+ 4 quartz." Contributions to Mineralogy and Petrology, 77(1981) 355-364.
- [78] Thomas W.M., Ernst W.G., "The aluminum content of hornblende in calc-alkaline granitic rocks: A mineralogic barometer calibrated experimentally to 12 kbars." In R.J. Spencer and I-M. Chou, Eds., Fluid-mineral interactions: A tribute to H. P. Eugster. Geochemical Society Special Publication, 2(1990) 59-63.
- [79] Brown E.H., "The crosstie content of Ca-amphibole as a guide to pressure of metamorphism." Journal of Petrology, 18(1977) 376-416.
- [80] Laird J., Lanphere A., Albee A.L., "Distribution of Ordovician and Devonian metamorphism in mafic and pelitic schists from Vermont." American Journal of Science, 284(1984) 376-416.
- [81] Stein E., Dietl C., "Hornblende thermobarometry of granitoids from the Central Odenwald and their implications for the geotectonic development of the Odenwald", Mineralogy and Petrology 72(1984) 185-207.
- [82] Brown G.C., Fyfe W.S., "The production of granitic melts during ultrametamorphism." Contributions to Mineralogy and Petrology, 28(1970) 310-318.
- [83] Vielzeuf D., Holloway J.R., "Experimental determination of the fluid-absent melting relations in the politic system." Contributions to Mineralogy and Petrology, 98(1988) 257-76.
- [84] Rushmer T., "Partial melting of two amphibolites: constraints experimental results under fluid-absent conditions." Contributions to Mineralogy and Petrology, 107(1991) 41- 59.
- [85] Blundy J.D., Holland T.J.B., "Calcic amphibole equilibria and a new amphibole-plagioclase geothermometer", Contributions to Mineralogy and Petrology 104(1990) 208-224.
- [86] Schmidt M.W., "Amphibole composition in tonalite as a function of pressure: an experimental calibration of the Al-in hornblende barometer", Contributions to Mineralogy and Petrology 110(1992) 304-310.
- [87] Anderson J. L., Smith D. R., "The effects of temperature and fO₂ on the Al-in-hornblende barometer", American Mineralogist 80(1995) 549.
- [88] Holland T., Blundy J., "Non-ideal interactions in calcic amphiboles and their bearing on amphibole-plagioclase thermometry". Contributions to Mineralogy and Petrology 116(1994) 433-447.
- [89] Brown M., "The generation, segregation, ascent and emplacement of granite magma: the migmatite-to-crustally-derived granite connection in thickened orogens." Earth Sci. Rev.36(1994) 83-130.
- [90] Nedelec A., Minyem D., Barbey P., "High P-highT anatexis of Archean tonalitic grey gneisses: the Eseka migmatite", Cameroon Precambrian Research, 62(1993) 191-205.
- [91] Manning D.A.C., Pichavant M., "Volatiles and their bearing on the behaviour of metals in granitic systems." CIM Bull. Special Issue, in press (1986).
- [92] fractureing." Journal of Petrology, 23(1982) 568-582.

metamorphosed ultramafic body in southwestern Finland: Crystal chemistry and petrological implications." The Canadian Mineralogist, 34(1996) 835-844.

[84] Paola S., Spalla M.I., *Contrasting tectonic records in pre-Alpine metabasites of the Southern Alps (lake Como, Italy)" . Journal of Geodynamics, 30(2000) 167-189.*

[82] Castro de Machuca B., Arancibia G., Morata D., Bel-mar M., Previley L., Pontoriero S., "P-T-t evolution of an Early Silurian medium-grade shear zone on the west side of the Famatinian magmatic arc, Argentina: Implications for the assembly of the Western Gondwana margin." Gondwana Research, 13(2008) 216-226.

[83] Mancini F., Sillanpää R., Marshall B., Papunen H., *Magnesian hornblende from a*